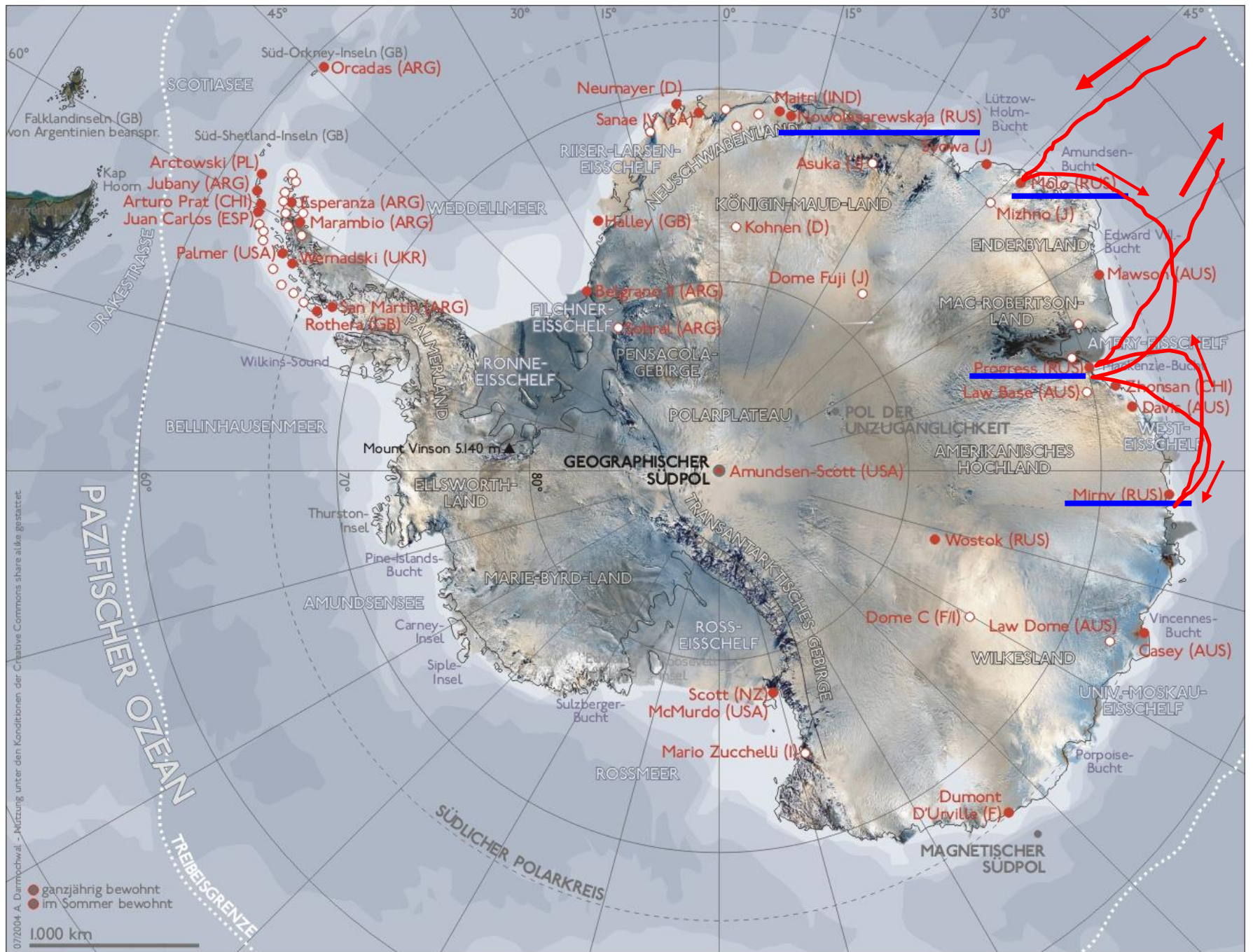




*Теплобалансовые и ледовые наблюдения
в период сезонных работ 57 РАЭ
декабрь 2011 – февраль 2012*

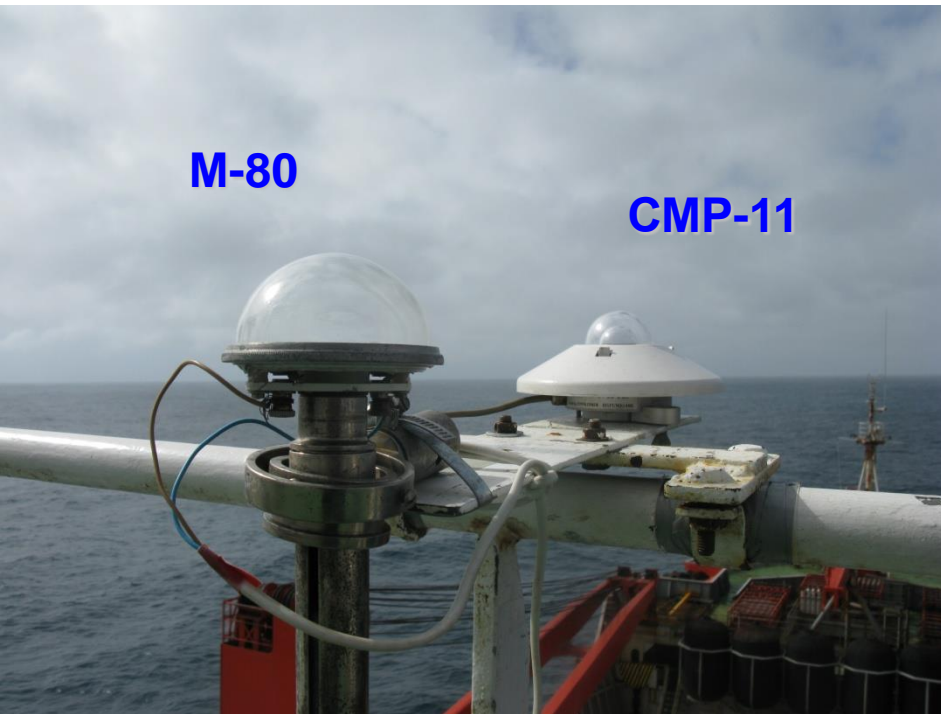
А.М. Безгрешнов, Б.В. Иванов

Отдел взаимодействия океана и атмосферы

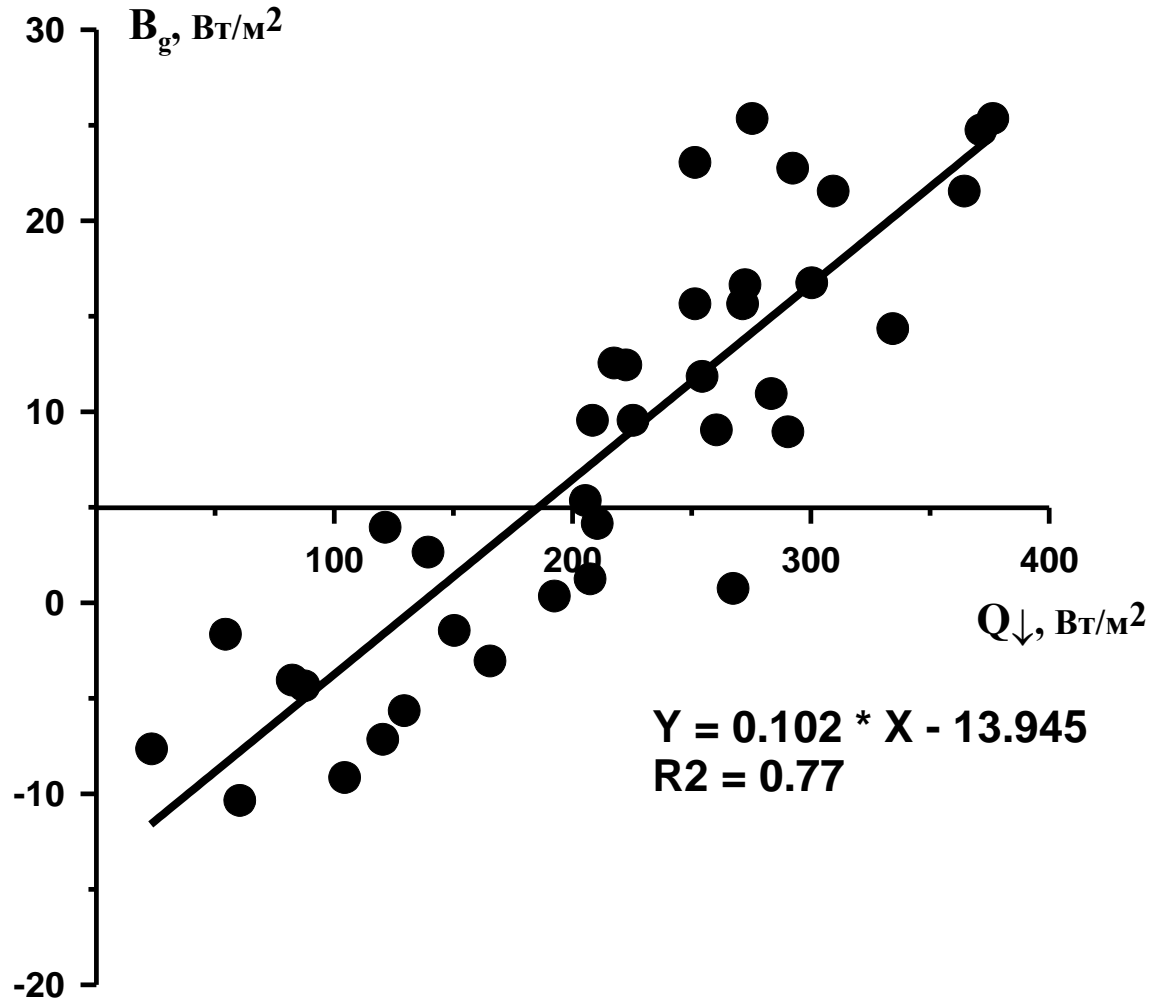


07/2004 A. Darmmehwal - Nutzung unter den Konditionen der Creative Commons share alike gestattet

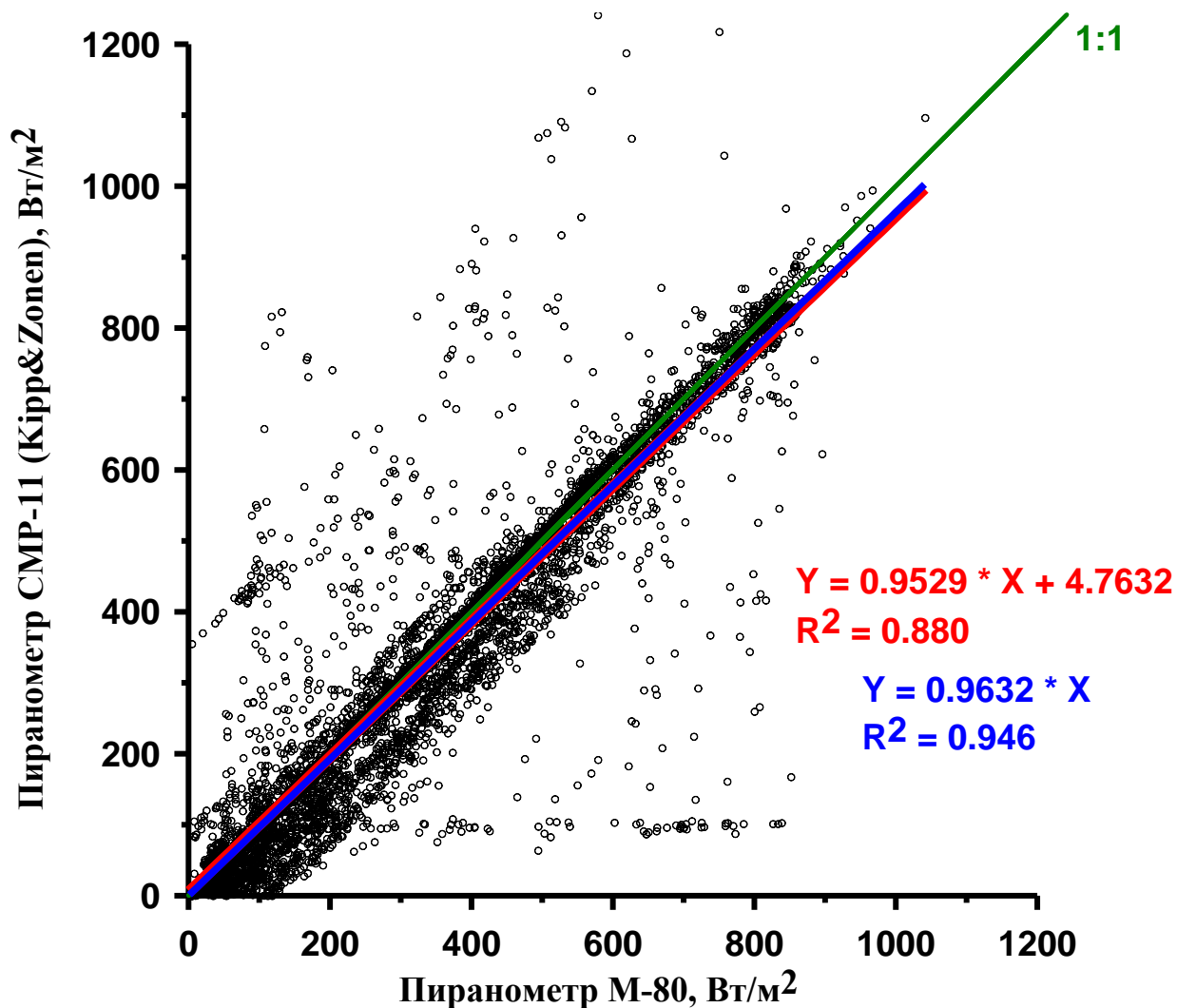
Актинометрические датчики



Связь среднесуточных оценок потока приходящей коротковолновой солнечной радиации и длинноволнового баланса подстилающей поверхности



Сравнение показаний российского (М-80) и голландского (СМР-11, Kipp&Zonen) пиранометров



74 гр в.д.

76 гр в.д.

69 гр ю.ш.

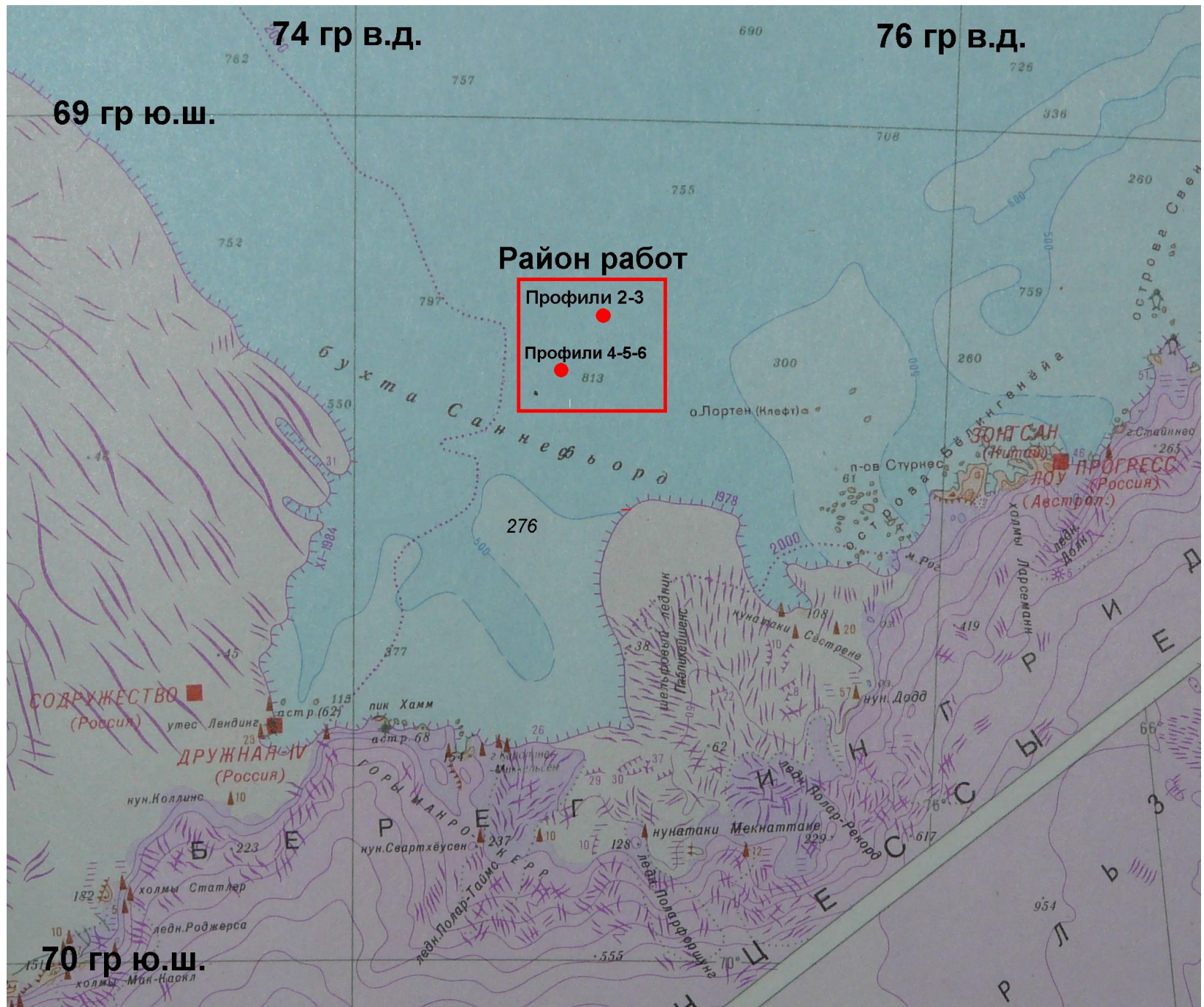
Район работ

Профили 2-3

Профили 4-5-6



813



70 гр ю.ш.



Толщина припая и снежного покрова, см

2010-11 гг.

2011-12 гг.

Толщина льда

(маршрут, 1 км)

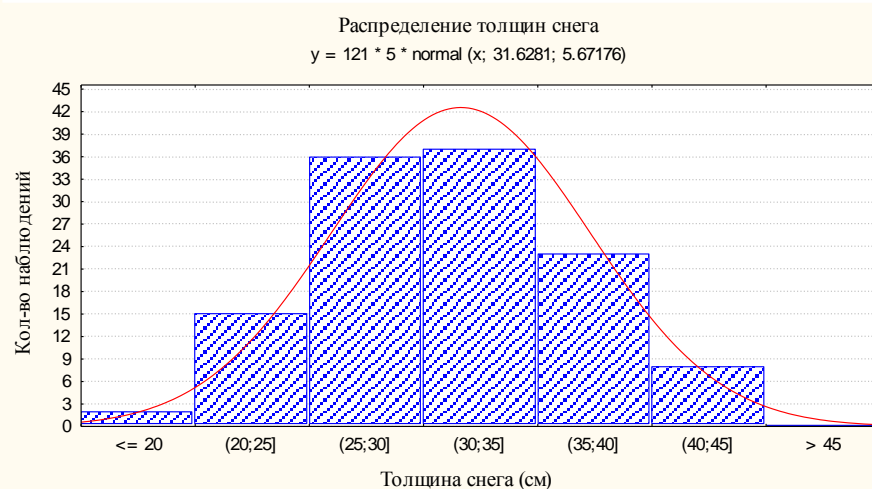
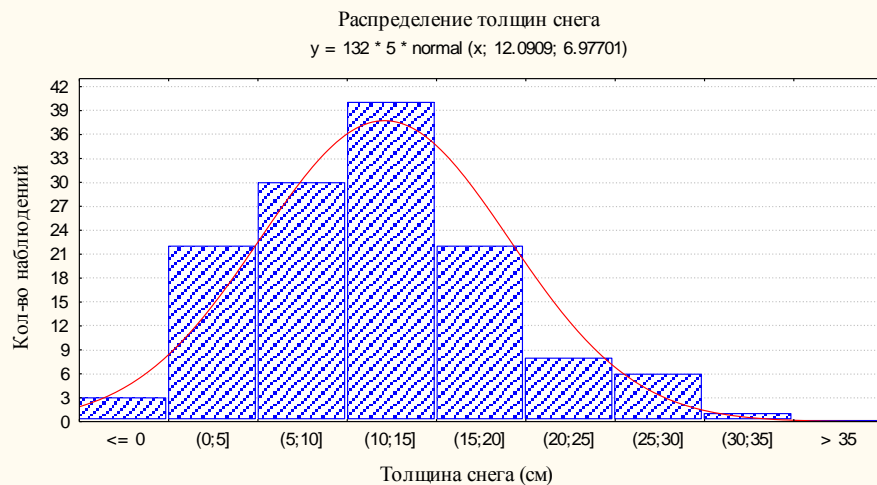
181

124

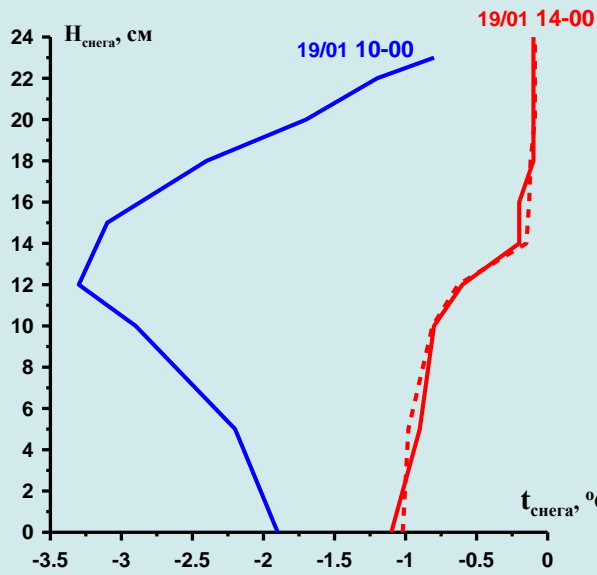
(полигон, 100x100 м)

184

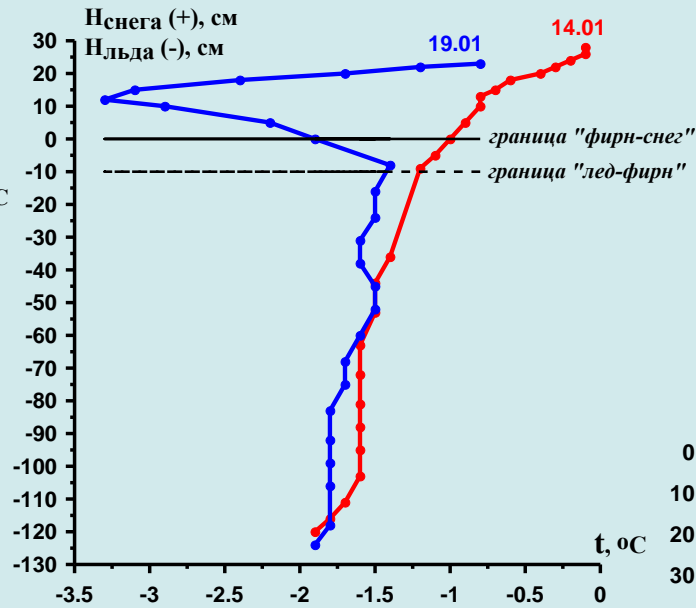
123



Температура снега



Температура снег/лед



II-B-2
IV - A
IV - B

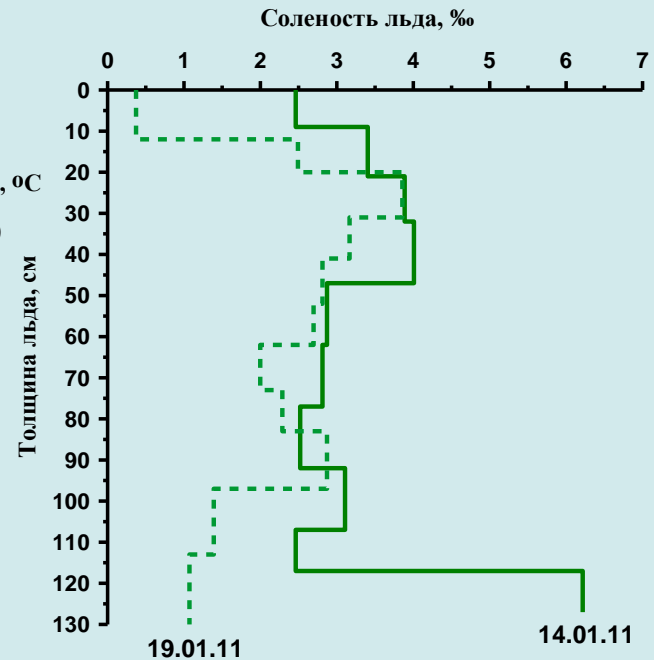
32 ± 6

23 ± 6

16 ± 6

0 (поверхность льда)

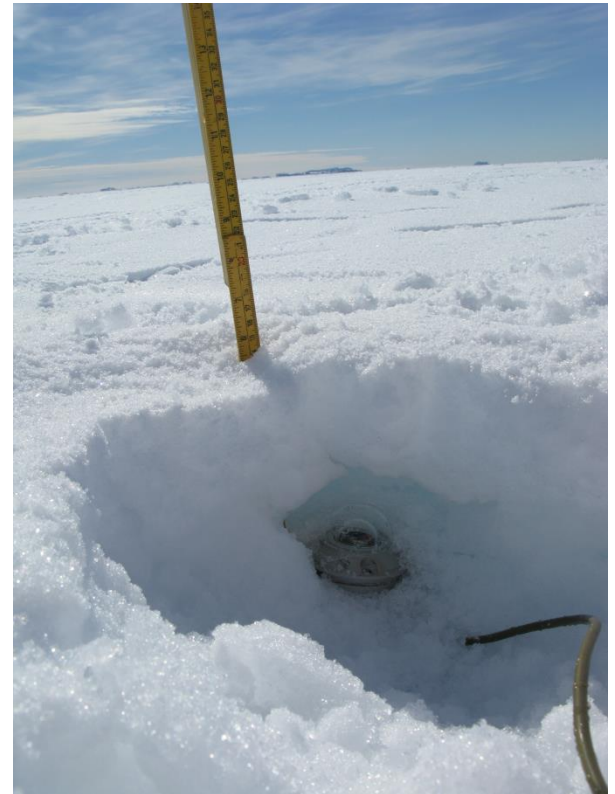
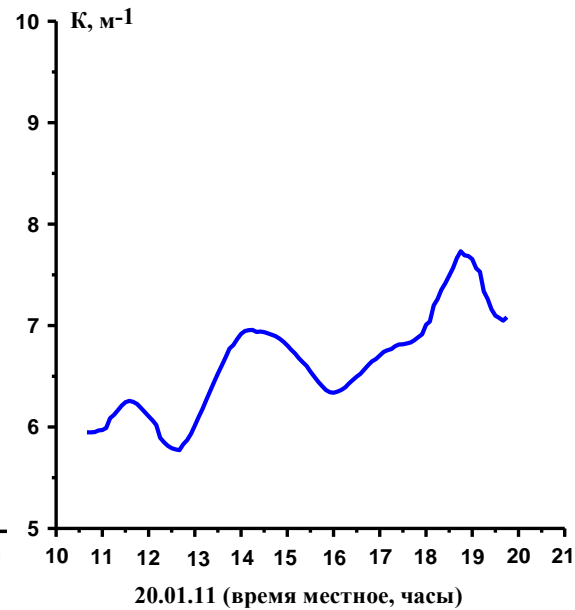
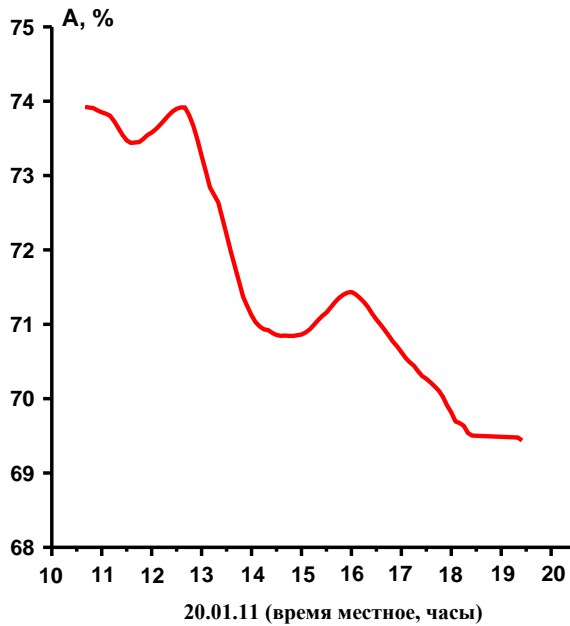
Соленость льда



Текстура снежной толщи

Радиационные свойства снега

Профильные измерения:
Альбедо 85-89%,
толщина снега 30-31 см

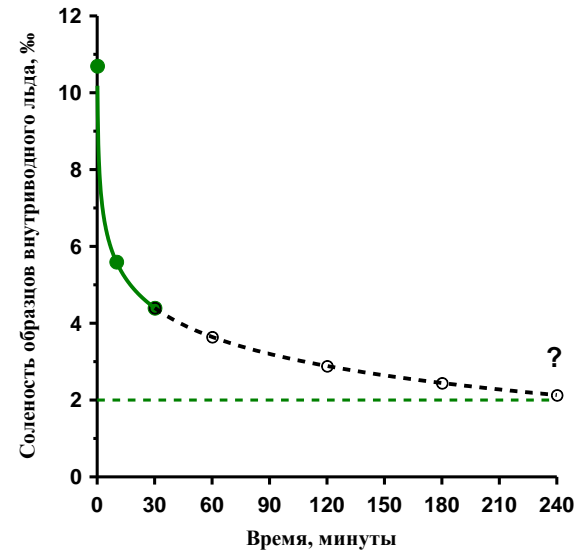
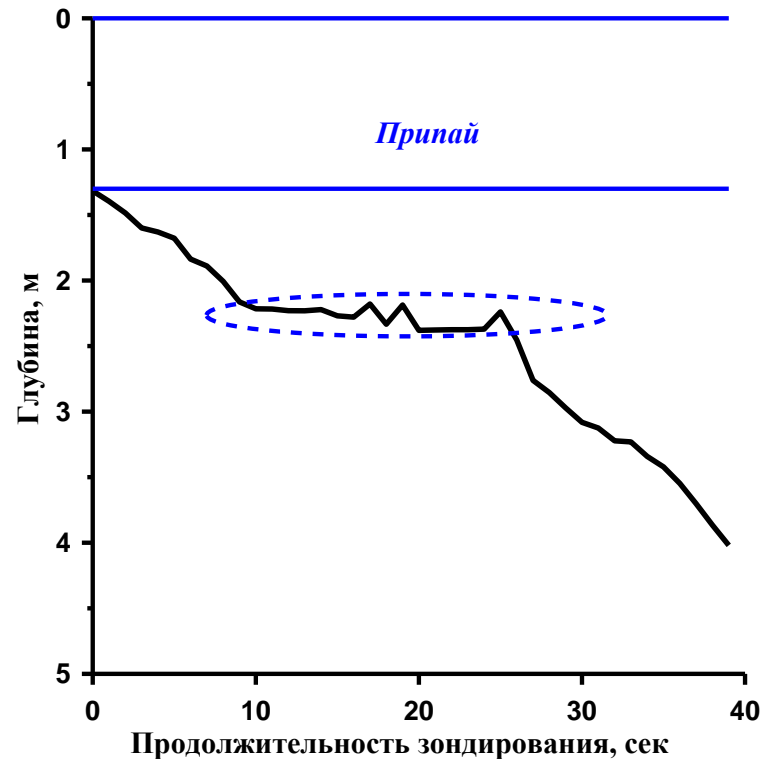
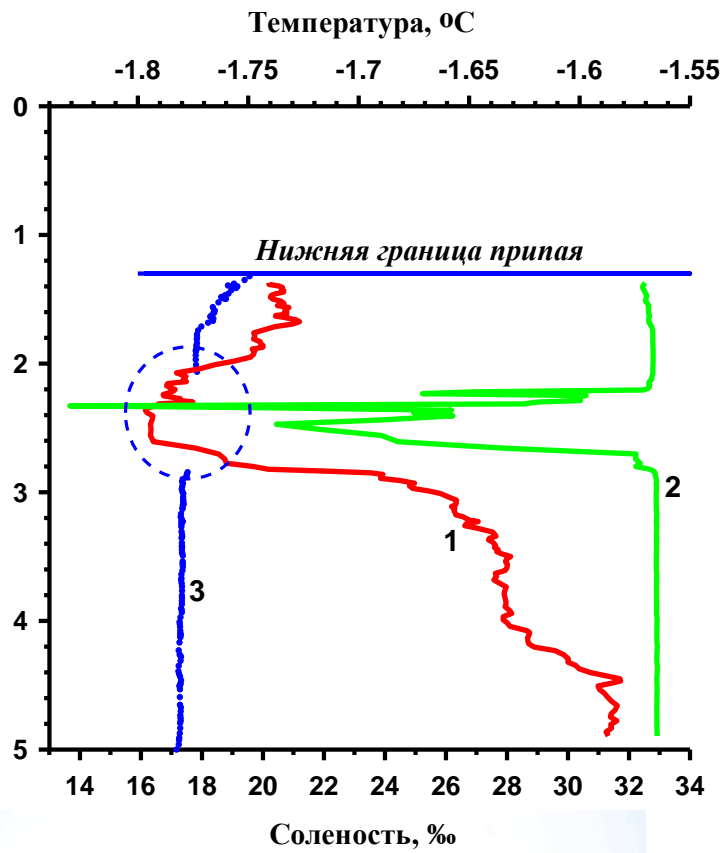




3 м от поверхности льда



2 м от поверхности льда



Полученные результаты:

- **Получены достоверные оценки толщин припая в заливе Саннефьорд в период его максимального развития и толщины снежного покрова;**
- **Получены новые данные о текстуре, теплофизических и радиационных свойствах снежно-ледяного покрова;**
- **Зафиксировано присутствие конжеляционного внутриводного льда весенне-летнего происхождения и впервые сделаны количественные оценки толщины слоя этого льда;**
- **Выявлены термохалинные условия в подледном слое, сопровождающие формирование внутриводного льда**